

СТРУКТУРА МАКРОМОЛЕКУЛЯРНЫХ СОЕДИНЕНИЙ

УДК 548.73

КРИСТАЛЛИЧЕСКАЯ СТРУКТУРА КОМПЛЕКСА ТРАНСАМИНАЗЫ D-АМИНОКИСЛОТ ИЗ БАКТЕРИИ *Aminobacterium colombiense* С D-ЦИКЛОСЕРИНОМ

© 2023 г. С. А. Шилова^{1,*}, И. О. Матюта¹, Е. Ю. Безсуднова¹, М. Е. Миняев³,
А. Ю. Николаева^{1,2}, В. О. Попов¹, К. М. Бойко¹

¹Институт биохимии им. А.Н. Баха, Федеральный исследовательский центр “Фундаментальные основы биотехнологии” РАН, Москва, Россия

²Национальный исследовательский центр “Курчатовский институт”, Москва, Россия

³Институт органической химии им. Н.Д. Зелинского РАН, Москва, Россия

*E-mail: zavyalovasonya@yandex.ru

Поступила в редакцию 08.11.2022 г.

После доработки 08.11.2022 г.

Принята к публикации 14.11.2022 г.

D-циклюсерин ингибитирует пиридоксаль-5'-фосфат (PLP)-зависимые ферменты как обратимо, так и необратимо. Как ингибитор аланинрациемазы D-циклюсерин применяется в лекарственной терапии при лечении туберкулеза. Известны несколько продуктов взаимодействия D-циклюсерина и PLP в активном центре фермента. Представлена кристаллическая структура комплекса PLP-зависимой трансаминазы D-аминокислот из бактерии *Aminobacterium colombiense* (Amico) с D-циклюсерином, полученная с разрешением 1.9 Å, в которой впервые обнаружен аддукт PLP и D-циклюсерина с раскрытым кольцом. Кроме того, взаимодействие D-циклюсерина и Amico охарактеризовано кинетическими и спектральными методами, определены разнообразные продукты взаимодействия D-циклюсерина и PLP в активном центре трансаминазы, проанализирована координация аддуктов D-циклюсерина и PLP в активном центре Amico. В ходе исследований установлено, что продуктами взаимодействия D-циклюсерина с PLP в активном центре Amico являются несколько соединений, в том числе аддукты PLP и DCS в циклической и разомкнутой формах, оксим, образованный PMP и β-аминоокси-D-аланином, а также PMP и β-аминооксирируют.

DOI: 10.31857/S0023476123600775, EDN: HYQYFH

ВВЕДЕНИЕ

D-циклюсерин ((4R)-4-амино-1,2-оксазолидин-3-он, DCS) – циклический аналог серина (рис. 1) – эффективно взаимодействует с пиридоксаль-5'-фосфатом (PLP) как в буфере, так и в активном центре PLP-зависимых ферментов, трансаминаз, аланинрациемаз и т.д. [1–4]. Ранее считалось, что DCS необратимо ингибирует PLP-зависимые ферменты с образованием ароматического аддукта гидроксизоксазола и пиридоксамин-5'-фосфата (гидроксизоксазол-РМР) [1, 4, 5]. Однако в настоящее время показано, что DCS может ингибировать PLP-зависимые ферменты как необратимо, так и обратимо в зависимости от условий реакции [2, 3, 6]. Реактивация фермента возможна как высокими концентрациями субстрата, так и путем вытеснения аддукта DCS и PLP избытком свободного PLP при определенных значениях pH [2, 6, 7]. В лекарственной терапии DCS относят к антибиотикам: ингибируя PLP- зависимую аланинрациемазу, DCS подавляет формирование кле-

точной стенки бактерий [8, 9]. Применяется в лечении туберкулеза [10].

Охарактеризованные масс-спектрометрическими и спектральными методами аддукты DCS и PLP представляют собой разнообразные по структуре соединения и включают в себя как производные циклической формы DCS (внешний альдимин 1, кетимин 1 и гидроксизоксазол), так и продукты раскрытия цикла в результате гидролиза амидной связи и последующей перегруппировки (внешний альдимин 2, кетимин 2 и оксим, образованный PLP и β-аминоокси-D-аланином (оксим)) (рис. 1) [2, 6]. Аддукт гидроксизоксазол-РМР наиболее стабильная из циклических форм DCS, которая, однако, находится в равновесии с внешним альдимином 1 (рис. 1) [2]. При взаимодействии DCS с PLP в форме внутреннего альдимина в аланинрациемазе образуется аддукт гидроксизоксазол-РМР, который затем через ряд промежуточных соединений внешний альдимин 1, внешний альдимин 2 и т.д. превращается в

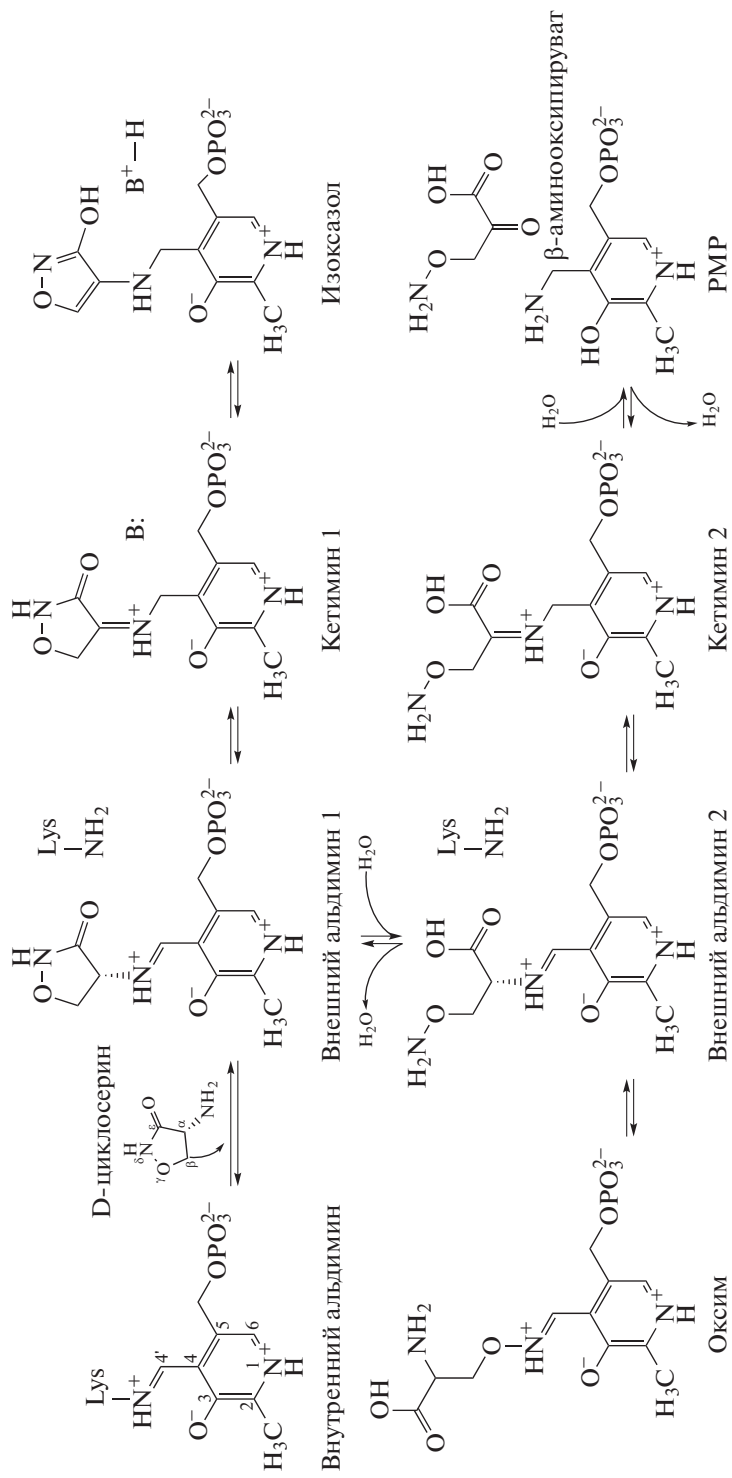


Рис. 1. Схема взаимодействия кофактора PLP с DCS в активном центре PLP-зависимых ферментов [4, 6].

оксим или изомеризуется в кетиминную форму и гидролизуется до PMP и β -аминооксициркувата (рис. 1) [2, 6].

Известны несколько кристаллических структур комплексов PLP-зависимых ферментов с DCS. Среди них комплексы с трансаминазой разветвленных L-аминокислот из *Mycobacterium tuberculosis* (PDB ID 5U3F), с аланинрацимазой из *M. tuberculosis* (PDB ID 1XFC) и *Streptomyces laverdulae* (PDB ID: 1VFS), а также с трансаминазой D-аминокислот из *Bacillus* sp. YM-1 (PDB ID 2DAA). Во всех структурах в активном центре ферментов находится аддукт гидроксизоксазол-РМР. Так же в результате сокристаллизации PLP-формы аланин:глиоксилат аминотрансферазы человека с DCS была получена структура фермента с кофактором в форме РМР в активном центре (PDB ID 6RV0) [6]. В настоящей работе в активном центре трансаминазы D-аминокислот из бактерии *Ammonobacterium colombiense* (*Amico*) впервые обнаружен другой аддукт: соединение кофактора и DCS в разомкнутой форме в виде кетимина.

МАТЕРИАЛЫ И МЕТОДЫ

Клонирование, экспрессия и очистка Amico. Нуклеотидная последовательность гена *Amico_1844* была взята из базы данных NCBI и оптимизирована для экспрессии в клетках *E. coli* с помощью Web-сервиса Optimizer (<http://genomes.urv.es/OP-TIMIZER/>). На 5'- и 3'-концы последовательности добавляли сайты эндонуклеаз рестрикции *NdeI* и *HindIII* соответственно. Синтетический ген (ООО “АТГ Сервис Ген” (Санкт-Петербург, Россия)) в составе модифицированного вектора pET-21d [11] был встроен в клетки *E. coli* Rosetta(DE3) pLysS. Трансформированные клетки расстили в среде LB/ампициллин при 37°C до $A_{600} = 0.8$, индуцировали экспрессию 0.2 mM изопропил- β -D-1-тиогалактопиранозидом (ИПТГ) и инкубировали при 30°C в течение 18 ч. Далее клетки центрифугировали и ресуспендировали в 50 mM калий-fosfatном буфере, pH 8.0, содержащем 500 mM NaCl, 20 mM имидазола, 10% глицерина, 5 mM β -меркаптоэтанола, 1 mM фенилметилсульфонилфторида, 0.5 M мочевины и 100 мкМ PLP, и разрушали ультразвуком. Клеточный экстракт центрифугировали при 18 500 g в течение 45 мин и наносили супернатант на колонку HisTrap HP (Cytiva, США), уравновешенную 50 mM калий-fosfatным буфером, pH 8.0, содержащим 500 mM NaCl, 20 mM имидазола, 1 mM фенилметилсульфонилфторида и 0.1% триглицерина X-100. Рекомбинантный Amico с His₆TEV-тагом на N-конце элюировали линейным градиентом имидазола (20–500 mM) в том же буфере без фенилметилсульфонилфторида и Тритона X-100. Собранный фракцию фермента инкубировали с 300 мкМ PLP при 25°C в течение 1 ч, затем добав-

ляли 1 mM этилендиаминетрауксусной кислоты (ЭДТА), 10% глицерина, 5 mM β -меркаптоэтанола и TEV-протеазу (1 мг на 10 мг белка), смесь инкубировали в течение 16 ч при 4°C, диализировали против 50 mM калий-fosfatного буфера, pH 8.0, содержащего 500 mM NaCl, 20 mM имидазола, 10% глицерина и 20 мкМ PLP при 25°C в течение 2 ч и далее Amico отделяли от TEV-протеазы и продуктов гидролиза повторной металло-хелатной хроматографией с помощью колонки HisTrap HP (Cytiva). Собранный фракцию Amico концентрировали и наносили на колонку Superdex 200 10/300 GL (Cytiva), уравновешенную 20 mM HEPES-буфером, pH 8.0, содержащим 50 mM NaCl и 100 мкМ PLP. Собранный фракцию Amico (димера по результатам гель-фильтрации) разбавляли в 20 mM HEPES-буфере, pH 8.0, до 2 мг/мл, наносили на колонку MonoQ 10/100 GL (Cytiva), уравновешенную 20 mM HEPES, pH 8.0, и элюировали линейным градиентом NaCl (20–500 mM). Собранные фракции Amico переносили в 20 mM HEPES-буфер, pH 8.0, содержащий 50 mM NaCl, 100 мкМ PLP и 1 mM дитиотреитола (ДТТ), и концентрировали до 17 мг/мл. Данную фракцию Amico хранили при –70°C и использовали для кристаллизации и биохимической характеристики.

Степень отщепления His₆-тага и чистоту белка анализировали при помощи электрофореза в полиакриламидном геле в присутствии додецилсульфата натрия (SDS-PAGE). Концентрацию белка определяли спектрофотометрически при 280 nm, используя коэффициент экстинкции $\epsilon_{280} = 0.615 \text{ мл/мг}\cdot\text{см}$, рассчитанный с помощью Web-сервиса ProtParam (<https://web.expasy.org/protparam/>).

Определение активности Amico в полной реакции трансаминирования. Активность Amico определяли в полной реакции трансаминирования между D-аланином и α -кетоглутаратом в 50 mM CHES-буфере, pH 9.0, при 60°C по накоплению продукта реакции – пирувата. За накоплением пирувата следили по сопряженной ферментативной реакции восстановления пирувата лактатдегидрогеназой (ЛДГ) из мышц кролика (Roche, США) при участии восстановленного никотинамидадениндинуклеотида (NADH). Скорость реакции определяли спектрофотометрически по наклону начального линейного участка убыли оптической плотности при 340 nm от времени. Убыль при 340 nm соответствовала окислению кофактора NADH ($\epsilon_{340}(\text{NADH}) = 6.22 \text{ mM}^{-1} \text{ с}^{-1}$). Эксперимент проводили с использованием спектрофотометра SPECTROstar Omega (BMG Labtech GmbH, Германия). За единицу ферментативной активности (U) принимали количество образованного пирувата (мкмоль) в минуту. Стандартная реакционная смесь содержала 50 mM D-аланина,

Таблица 1. Кристаллографические данные и параметры съемки кристалла комплекса трансаминазы Amico с D-циклосерином

Пр. гр.	<i>P</i> 2 ₁ 2 ₁ 2 ₁
<i>a</i> , <i>b</i> , <i>c</i> , Å	61.97, 90.03, 100.29
α , β , γ , град	90.00, 90.00, 90.00
<i>T</i> , К	100
λ , Å	0.9
Разрешение, Å	21.15–1.90 (1.94–1.90)*
Число независимых рефлексов	44377 (2782)
Полнота набора, %	98.9 (94.7)
<i>I</i> / <i>σ</i> (<i>I</i>)	13.9 (0.5)
<i>R</i> _{pim} , %	5.7 (126)
<i>CC</i> _{1/2} , %	99.5 (41.7)

* В скобках приведены значения для последнего слоя высокого разрешения.

Таблица 2. Данные уточнения комплекса трансаминазы Amico с D-циклосерином

<i>R</i> _{fact} , %	21.9
<i>R</i> _{free} , %	26.2
Общий средний <i>B</i> -фактор	32.8
Средний <i>B</i> -фактор по белку	32.7
Средний <i>B</i> -фактор по лигандам	40.0
Средний <i>B</i> -фактор по растворителю	34.3
Число неводородных атомов	
Белок	4343
Лиганды	77
Растворитель	239
Всего	4659
Среднеквадратичные отклонения	
Длины связей, Å	0.0116
Валентные углы, град	1.7570
График Рамачандрана	
Наиболее благоприятные, %	98.2
Допустимые, %	1.6
Код PDB	8AIE

5 мМ α -кетоглутарата, 60 мКМ PLP, 0.0025 мг/мл Amico, 0.33 мМ NADH и 4 У/мл ЛДГ. Реакцию запускали аминодонором после прогревания реакционной смеси в течение 10 мин.

Ингибиование Amico DCS оценивали по значению концентрации полумаксимального ингибиования (IC_{50}) в стандартной реакции трансаминирования (описана выше). Концентрацию DCS варьировали в пределах 0.1–20 мМ.

Получение холоформы Amico. Amico (10 мг/мл) инкубировали с 600 мКМ PLP и 5 мМ пируватом при 25°C в течение 1 ч и далее переводили на колонке HiTrap (Cytiva) в 50 мМ CHES-буфер, pH 9.0.

Спектральный анализ взаимодействия Amico с DCS. Холоформу Amico (30 мКМ) инкубировали в 50 мМ CHES-буфере, pH 9.0, при 40°C в течение 1 ч с 30 мМ DCS. Продукты взаимодействия анализировали спектральными методами. Спектры поглощения регистрировали в диапазоне длин волн 300–500 нм с использованием спектрофотометра Evolution 300 UV-Vis (Thermo Scientific, США). Спектры флуоресценции регистрировали в диапазоне длин волн 350–570 нм при длине волны возбуждения 328 нм и в диапазоне длин волн 390–570 нм при длине волны возбуждения 380 нм с использованием спектрофлуориметра FluoroMax-4 (Horiba Scientific, Япония).

Кристаллизацию Amico проводили методом диффузии в парах (“висячая капля”) при 15°C. Состав противораствора: 0.2 М нитрата натрия, 0.1 М бис-трист-пропан, pH 6.5, 20% ПЭГ 3350. 17 мг/мл фермента смешивали с противорастором в отношении 1:1 (объем капли составлял 3 мкл). Кристаллы достигали максимального размера за 14 дней и представляли собой сростки неправильной огранки со средней длиной наибольшей грани ~100 мкм. Комплекс Amico с DCS получали путем настаивания кристалла холоформы в противорасторве, содержащем 100 мМ DCS, в течение 2 мин. Затем кристалл переносили в криорастор, содержащий противорасторв и 20% этиленгликоля, и замораживали в парах жидкого азота.

Сбор данных, решение и уточнение. Дифракционный набор собирали при температуре 100 К на рентгеновском дифрактометре Rigaku XtaLAB Synergy-S в ИОХ РАН (Москва). Дифракционная картина фиксировалась детектором HyPix-3000. Обработку данных проводили при помощи программы CrysAlisPro [12] (табл. 1). Решение структуры проводили методом молекулярного замещения с использованием программы MOLREP [13] и структуры холоформы данного фермента (PDB ID – 8AHR) в качестве начальной модели. Для уточнения пространственной структуры использовали программу Refmac5 из комплекса CCP4 [14]. Визуальный контроль уточнения проводили в программе Coot [15]. Данные уточнения структуры приведены в табл. 2.

РЕЗУЛЬТАТЫ И ИХ ОБСУЖДЕНИЯ

Взаимодействие DCS с Amico. Ингибиование DCS стандартной реакции трансаминирования, катализируемой Amico, характеризовали величиной IC_{50} , которая составила 3.4 ± 1.1 мМ при 60°C в 50 мМ CHES-буфере, pH 9.0. Продукты взаимо-

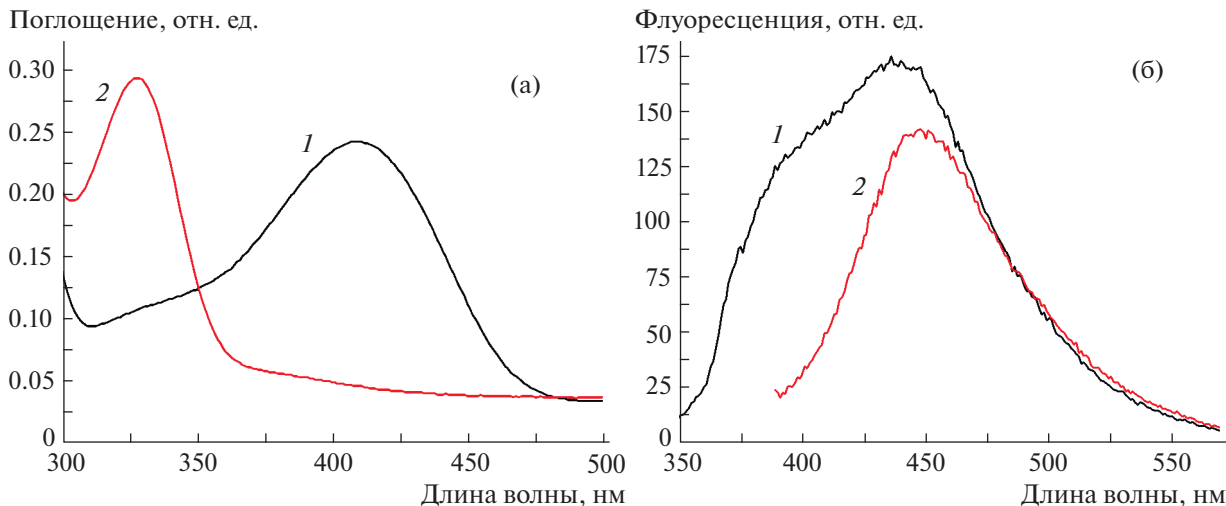


Рис. 2. Спектры поглощения и флуоресценции продуктов взаимодействия холоформы Amico с DCS: а – спектры поглощения 30 мкМ холоформы Amico (1) и 30 мкМ холоформы Amico после добавления 30 мМ DCS (2); б – спектры флуоресценции продуктов взаимодействия холоформы Amico (30 мкМ) и 30 мМ DCS при длине волны возбуждения 328 нм (1) и 380 нм (2).

действия DCS с холоформой Amico анализировали спектральными методами. Спектр поглощения холоформы Amico имеет максимум при 409 нм, соответствующий внутреннему альдимину фермента (рис. 2). При добавлении DCS к холоформе Amico в спектре поглощения наблюдались снижение оптической плотности при 409 нм и появление максимума при 328 нм с плечом в области 380 нм (рис. 2а). Далее были проанализированы спектры флуоресценции продуктов взаимодействия DCS с холоформой Amico при длинах волн возбуждения, соответствующих максимумам на спектре поглощения – 328 и 380 нм. В спектрах флуоресценции смеси Amico с DCS наблюдались два максимума при 390 и 450 нм при длине волны возбуждения 328 нм и один максимум при 450 нм при длине волны возбуждения 380 нм (рис. 2б). Максимумы в спектре поглощения при 328 нм и в спектре флуоресценции при 390 нм (при возбуждении при 328 нм) соответствуют соединениям с sp^3 -гибридизацией C4'-атома кофактора [16], такими соединениями являются кофактор в форме пиридоксамин-5'-фосфата (PMP), аддукт гидроксизоксазол-PMP, а также аддукты PLP и циклического или разомкнутого DCS в форме кетиминов (рис. 1). Плечо в спектре поглощения в области 380 нм и максимум в спектре флуоресценции при 450 нм соответствуют поглощению/эмиссии оксима, образованного PLP и β -аминоокси-D-аланином (рис. 1) [16]. Таким образом, из представленных на рис. 1 аддуктов PLP и DCS при взаимодействии DCS с PLP в активном центре Amico образуются кетимины (возможно кетимин 1 и кетимин 2), оксим и кофактор

в форме PMP, не исключено также образование аддукта гидроксизоксазол-PMP.

Анализ структуры комплекса Amico с DCS. Кристаллы Amico относятся к орторомбической сингонии (пр. гр. $P2_12_12_1$). На независимую часть элементарной ячейки приходятся две субъединицы фермента, образующие классический функциональный димер с двумя активными центрами [17]. Общая архитектура субъединицы Amico в комплексе с DCS совпадает с таковой у холоформы фермента (PDB ID: 8AHR) – RMSD по $C\alpha$ -атомам составляет 0.39 Å² (рис. 3а).

В обоих активных центрах димера Amico обнаружена электронная плотность, соответствующая аддукту кофактора PLP и DCS (рис. 3б, 3в). При взаимодействии DCS с внутренним альдимином происходит поворот плоскости кольца PLP относительно оси, проходящей через атомы N1 и C6, на 35° и 25° в сторону связываемого лиганда в субъединицах А и В соответственно (рис. 4а). Атом иминного азота отклонен от плоскости пирдинового кольца кофактора на 70° и 60° в субъединицах А и В соответственно, что исключает присутствие аддуктов в форме внутреннего альдимина [18, 19] и указывает на присутствие аддуктов – кетиминов. В субъединице А электронная плотность соответствует кетимину 1 (аддукту PLP и циклического DCS в лактамной форме, рис. 1) с заселенностью 0.65 (рис. 4б), а в субъединице В – кетимину 2 (аддукту PLP и разомкнутого DCS, рис. 1) с заселенностью 0.75 (рис. 4в). Второе состояние кофактора в обеих субъединицах одинаковое и соответствует молекуле PMP с заселенностью 0.35 и 0.25 в субъединицах А и В соответ-

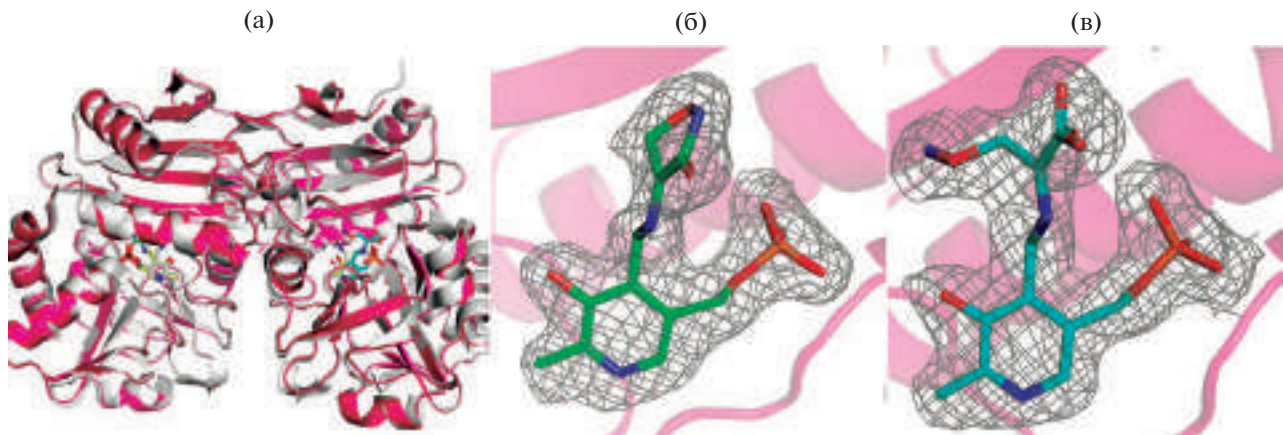


Рис. 3. Пространственная структура комплекса Amico с DCS: а – наложение функциональных димеров холоформы Amico (серый) и комплекса Amico с DCS (малиновый); б, в – электронные плотности аддуктов PLP и DCS в субъединицах А и В соответственно. Зеленым цветом показан аддукт PLP и циклического DCS, голубым – аддукт PLP и разомкнутого DCS, серым – omit-карта электронной плотности Fo-Fc с уровнем срезки 3 σ .

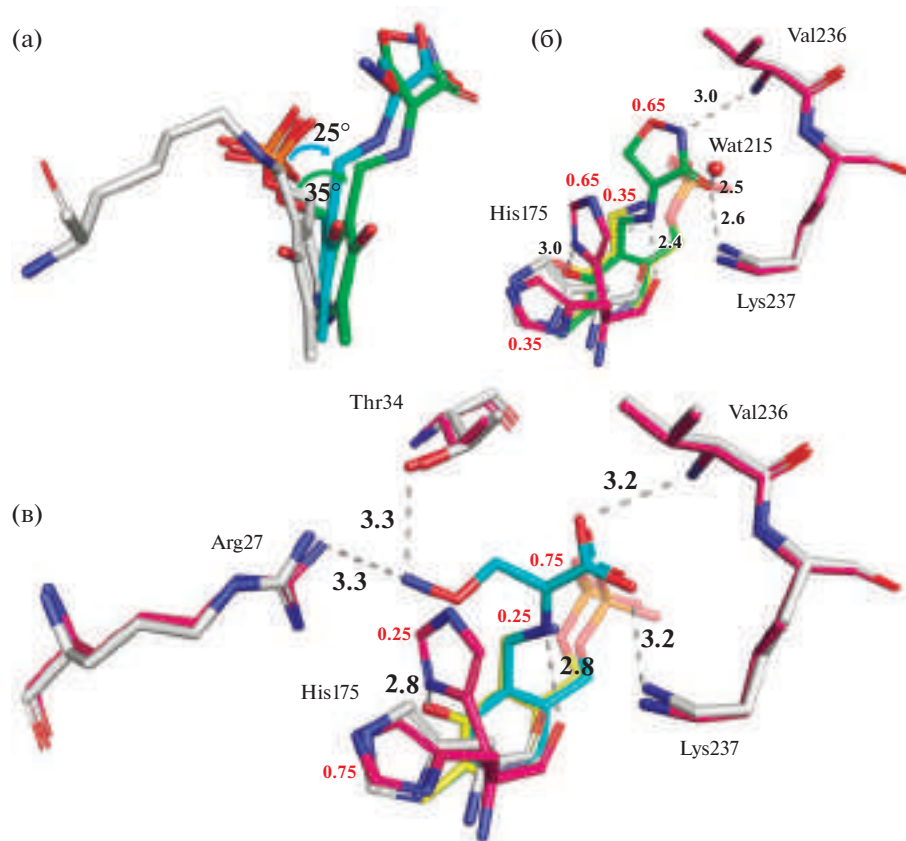


Рис. 4. Наложение пространственных структур активных центров холоформы Amico и его комплекса с DCS: а – наложение кофактора PLP в холоформе Amico и в комплексе Amico с DCS; б, в – активные центры комплекса Amico с DCS в субъединицах А и В соответственно. Серым цветом показаны аминокислотные остатки холоформы Amico, малиновым – остатки комплекса Amico с DCS, зеленым – аддукт PLP и циклического DCS, голубым – аддукт PLP и разомкнутого DCS, желтым – молекула PMP. Водородные связи показаны пунктирной линией, а соответствующие расстояния приведены в Å. Цифрами указана заселенность соответствующего состояния.

ственno (рис. 4б, 4в). По-видимому, за время настаивания кристалла холоформы Amico в растворе DCS амидная группа последнего частично

гидролизуется в активном центре фермента с образованием разомкнутого внешнего альдимина (внешний альдимин 2), который затем частично

превращается в кетимин 2 и гидролизуется до молекулы PMP (рис. 1).

Полученная структура комплекса Amico с DCS позволяет проанализировать связывание кетимины 1 и кетимины 2 в активном центре фермента. Положения аминокислотных остатков в активном центре в комплексе Amico с DCS не изменились по сравнению с холоформой Amico, за исключением остатка His175 (рис. 4б, 4в). Для него наблюдается двойное положение боковой группы в каждой субъединице. В субъединице А состоянию кофактора в форме кетимины 1 соответствует положение His175, направленное в активный центр, тогда как состоянию кофактора в форме PMP соответствует положение His175, направленное из активного центра (рис. 4б). В субъединице В состоянию кофактора в форме кетимины 2 соответствует положение His175, направленное из активного центра, тогда как состоянию кофактора в форме PMP соответствует положение His175, направленное в активный центр (рис. 4в). Иминный азот кетимины в обеих субъединицах координируется карбонильной группой основной цепи остатка His175. В случае кетимины 1 карбонильный кислород лактамной формы DCS координируется молекулой воды и ε-аминогруппой остатка Lys237, аминогруппа оксазолидинового кольца координируется атомом азота основной цепи остатка Val236 (рис. 4б). В субъединице В остатки Val236 и Lys237 также координируют карбоксильную группу кетимины 2, а здесь остатки Arg27 и Thr34 образуют водородные связи с аминогруппой разомкнутого кетимины, р_{K_a} которой составляет около 5 [20] (рис. 4в). В условиях кристаллизации Amico при pH 6.5 аминогруппа разомкнутого кетимины депротонирована и может образовывать водородную связь с гуанидиновой группой аргинина.

Таким образом, при взаимодействии Amico с DCS в активном центре фермента образуются несколько промежуточных соединений, в том числе аддукты PLP и DCS в циклической и разомкнутой формах, продукт перегруппировки внешнего альдимина 2 – оксим, образованный PLP и β-аминоокси-D-аланином, и PMP. Кетимины (аддукты PLP и DCS в циклической и разомкнутой формах) были обнаружены в активном центре Amico. Остатки активного центра Amico Arg27, Thr34, His175, Val236 и Lys237 вовлечены в связывание аддуктов PLP и DCS и могут быть функционально важными для катализа Amico.

Работы по экспрессии и выделению белка, а также уточнению пространственной структуры и ее анализу выполнены при финансовой поддержке Российского научного фонда (грант № 19-14-00164). Работы по кристаллизации и рентгеноструктурному эксперименту выполнены при под-

держке Министерства науки и высшего образования Российской Федерации.

СПИСОК ЛИТЕРАТУРЫ

1. Peisach D., Chipman D.M., Van Ophem P.W. et al. // J. Am. Chem. 1998. V. 120. P. 2268. <https://doi.org/10.1021/ja973353f>
2. Chiara C. de, Homšák M., Prosser G.A. et al. // Nat. Chem. Biol. 2020. V. 16. P. 686. <https://doi.org/10.1038/s41589-020-0498-9>
3. Soper T.S., Manning J.M. // J. Biol. Chem. 1981. V. 256. P. 4263. [https://doi.org/10.1016/S0021-9258\(19\)69428-7](https://doi.org/10.1016/S0021-9258(19)69428-7)
4. Amorim Franco T.M., Favrot L., Vergnolle O., Blanchard J.S. // ACS Chem. Biol. 2017. V. 12. P. 1235. <https://doi.org/10.1021/acscembio.7b00142>
5. Braunstein A.E. // The Enzymes / Ed. Boyer P.D. London: Academic Press, 1973. P. 379.
6. Dindo M., Grottelli S., Annunziato G. et al. // Biochem. J. 2019. V. 476. P. 3751. <https://doi.org/10.1042/BCJ20190507>
7. Soper T.S., Jones W.M., Lerner B. et al. // J. Biol. Chem. 1977. V. 252. P. 3170. [https://doi.org/10.1016/S0021-9258\(17\)40367-X](https://doi.org/10.1016/S0021-9258(17)40367-X)
8. Strominger J.L., Ito E., Threnn R.H. // J. Am. Chem. Soc. 1960. V. 82. P. 998. <https://doi.org/10.1021/ja01489a058>
9. Walsh C.T. // J. Biol. Chem. 1989. V. 264. P. 2393. [https://doi.org/10.1016/S0021-9258\(19\)81624-1](https://doi.org/10.1016/S0021-9258(19)81624-1)
10. Caminero J.A., Sotgiu G., Zumla A., Migliori G.B. // Lancet Infect. Dis. 2010. V. 10. P. 621. [https://doi.org/10.1016/S1473-3099\(10\)70139-0](https://doi.org/10.1016/S1473-3099(10)70139-0)
11. Boyko K., Gorbacheva M., Rakitina T. et al. // Res. Commun. 2014. V. 71. P. 24. <https://doi.org/10.1107/S2053230X14025333>
12. Agilent. CrysAlisPRO. Agilent Technologies UK Ltd, 2013.
13. Vagin A., Teplyakov A. // Acta Cryst. D. 2010. V. 66. P. 22. <https://doi.org/10.1107/S0907444909042589>
14. Murshudov G.N., Skubak P., Lebedev A.A. et al. // Acta Cryst. D. 2011. V. 67. P. 355. <https://doi.org/10.1107/S0907444911001314>
15. Emsley P., Cowian K. // Acta Cryst. D. 2004. V. 60. P. 2126. <https://doi.org/10.1107/S0907444904019158>
16. Beeler T., Churchich J.E. // J. Biol. Chem. 1976. V. 251. P. 5267. [https://doi.org/10.1016/S0021-9258\(17\)33156-3](https://doi.org/10.1016/S0021-9258(17)33156-3)
17. Bezusudnova E.Y., Boyko K.M., Nikolaeva A.Y. et al. // Biochimie. 2019. V. 158. P. 130. <https://doi.org/10.1016/j.biochi.2018.12.017>
18. Marković-Housley Z., Schimer T., Hohenester E. et al. // Eur. J. Biochem. 1996. V. 236. P. 1025. <https://doi.org/10.1111/J.1432-1033.1996.01025.X>
19. Okada K., Hirotsu K., Hayashi H., Kagamiyama H. // Biochemistry. 2001. V. 40. P. 7453. <https://doi.org/10.1021/BI010384L>
20. Khomutov A.R., Vepsäläinen J.J., Shvetsov A.S. et al. // Tetrahedron. 1996. V. 52. P. 13751. [https://doi.org/10.1016/0040-4020\(96\)00836-8](https://doi.org/10.1016/0040-4020(96)00836-8)